

ISSN 1728-4260

ВІСНИК

ЖИТОМИРСЬКОГО
ДЕРЖАВНОГО ТЕХНОЛОГІЧНОГО
УНІВЕРСИТЕТУ

JOURNAL

ZHYTOMYR STATE TECHNOLOGICAL UNIVERSITY



ВИПУСК

ISSN 1728-4260



07>

9 771728 426007

2008

Технічні
науки

III (46)
ТОМ I

МІНІСТЕРСТВО ОСВІТИ І НАУКИ УКРАЇНИ
ЖИТОМИРСЬКИЙ ДЕРЖАВНИЙ ТЕХНОЛОГІЧНИЙ УНІВЕРСИТЕТ

ВІСНИК
Житомирського
державного технологічного
університету

НАУКОВИЙ ЖУРНАЛ
ЗАСНОВАНИЙ У КВІТНІ 1994 Р.
ВИХОДИТЬ ЧОТИРИ РАЗИ НА РІК

3
(46)

Технічні науки

Друкується за рішенням
Вченої ради Житомирського державного
технологічного університету
(протокол № 2 від 08. 09. 2008 р.)

Житомир
2008

Вісник ЖДТУ. Серія: Технічні науки
постановами Президії ВАК України
від 22 травня 1997 р. № 1а/5; 10 листопада 1999 р. № 3-05/11
та 10 грудня 2003 р. № 1-05/10 затверджений як наукове видання,
в якому можуть бути опубліковані основні результати
дисертаційних робіт на здобуття наукових ступенів доктора і кандидата наук

ІДЕНТИФІКАЦІЙНИЙ КОД
ІДЕНТИФІКАЦІЙНИЙ КОД
ІДЕНТИФІКАЦІЙНИЙ КОД

**ВІСНИК
Житомирського
державного технологічного
університету**

№ 3 (46) – 2008

ISSN 1728-4260

Журнал видано редакційно-видавничим відділом ЖДТУ

Редактори

Л.В. Гончарук
Т.В. Кузыменко
Н.С. Пекарєва
В.В. Кондратенко
Р.В. Лисогор

Комп'ютерний набір та верстка
Макетування

Свідоцтво про державну реєстрацію № 8079 від 30.10.2003 р.

Підписано до друку 25.09.2008. Формат 60x84 1/8. Папір офс.
Гарнітура Петербург. Ум. друк. арк. 23,72. Обл.-вид. арк. 23,24. Наклад 300 прим. Зам. № 38
Видавець і виготовник – редакційно-видавничий відділ
Житомирського державного технологічного університету

Адреса: вул. Черняховського, 103, м. Житомир, 10005.

© Житомирський державний технологічний університет, 2008

Ю.І. Пиндус, к.т.н., доц.
П.О. Марущак, к.т.н., доц.
Р.Т. Біщак, аспір.
О.П. Ясній, асист.

Тернопільський державний технічний університет імені Івана Пуллюя

ОЦІНКА РОЗПОДІЛУ КІН ПО ФРОНТУ ПОВЕРХНЕВОЇ НАПІВЕЛІПТИЧНОЇ ТРІЩИНИ У ТОВСТОСТІННОМУ ЦИЛІНДРІ

Методом скінчених елементів розраховано КІН вздовж фронту напівеліптичної тріщини за навантажування товстостінного циліндра (ролика МБЛЗ) рівномірним розподіленим поверхневим зусиллям.

Вступ. Відомо, що короткі поверхневі напівеліптичні тріщини в циліндричному тілі найбільш точно описують фактичні експлуатаційні дефекти. Lin i Smith [1] довели, що кожен дефект, який має довільну початкову форму, набуває під час поширення форми напівеліптичної тріщини. Існує ряд підходів моделювання напруженео-деформованого стану в циліндрах, зокрема Raju i Newman проаналізували напруженео-деформований стан тріщин в циліндрах, використавши тривимірне скінченно-елементне моделювання [2]. Відомі приклади оцінки НДС циліндрів з тріщинами методом граничної інтерполяції [3]. У вказаних працях доведено, що КІН для зовнішніх тріщин має найбільше значення в найглибшій точці фронту або кутових точках фронту тріщини, залежно від геометрії та схеми навантаження тіла. Відома велика кількість розв'язків для циліндричних тіл, навантажених за схемою чистого згину (рис. 1, а) проте значна кількість тіл навантажується розподіленим навантаженням (рис. 1, б), для яких відсутні розв'язки оцінки КІН. Для забезпечення точності визначення КІН необхідно враховувати просторовий розподіл напружень і деформацій.

Викладення основного матеріалу. В цій праці визначено КІН в товстостінному циліндрі із поверхневою півеліптичною тріщиною, навантаженому зовнішнім рівномірно розподіленим навантаженням. Розглянута задача має значне прикладне значення, оскільки за такою схемою навантажування працюють важливі деталі металургійного обладнання – ролики машин безперервного ліття заготовок. За розподілений по поверхні ролик навантаження виступає вага слябової заготовки [4]. Прогнозування залишкового ресурсу цих конструкцій із тріщиною вимагає коректної оцінки КІН, із найбільш повним урахуванням реальної схеми навантаження.

В роботі розглядали товстостінний пустотілий циліндр, з поверхневою напівеліптичною тріщиною в центральній частині конструкції (рис. 1, 2), яка виникає в місці дії максимального згинального моменту.

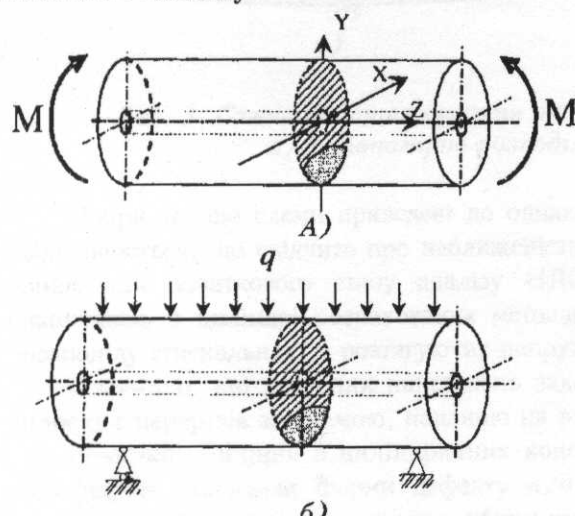


Рис. 1. Схеми навантажування товстостінного циліндра з тріщиною:
а) – чистий згин;
б) – рівномірно розподілене навантаження

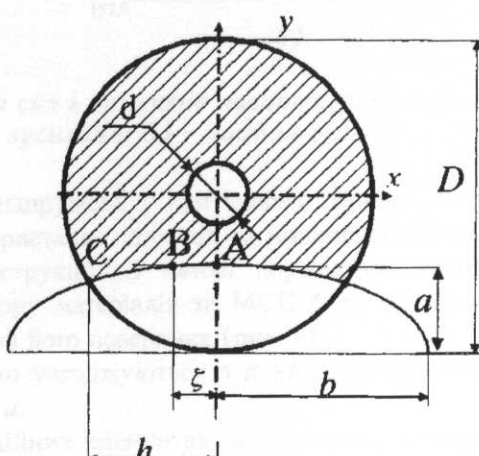


Рис. 2. Геометрія тріщини

Напрям розтріскування приймали нормальним до повздовжньої осі ролика. Геометрію круглого центрального перерізу з напівеліптичною тріщиною подано на рис. 2. В роботі порівнювали результати оцінки НДС товстостінного циліндра із напівеліптичною тріщиною навантаженого «чистим» згином, із схемою навантаження рівномірно розподіленим зусиллям на основі приведення їх до одинакових напружень на критичній ділянці (рис. 1). Це дозволило отримати та співставити одержані результати, із даними відомих методів обчислення КІН [5].

Статичний розрахунок виконували у пружній геометрично-лінійній постановці за умов плоского згину та гіпотези плоских перерізів. З метою знаходження діапазону напружень, діючих в конструкції, розрахунок сил та моментів проведено за двома схемами, приведеними на рисунку 3.

Силова схема навантажування циліндра. КІН напівеліптичної поверхневої тріщини в товстостінному циліндрі, навантаженому розподіленим зусиллям визначали, на основі приведення його до еквівалентної схеми «чистого» згину (рис. 16). Статичний розрахунок виконано у пружній геометрично-лінійній постановці за умов плоского згину та гіпотези плоских перерізів. Для знаходження діапазону напружень, діючих в циліндрі, зусилля та моменти розраховували за двома приведеними перерізами (Рис.2).

Довжину циліндра приймали 1,9 м (рис. 3, а). Розподілене навантаження $q = 365 \text{ КН}$, що відповідає експлуатаційному навантаженню на ролик МБЛЗ під час усталеного ліття. Розглянуто задачі про стійкість балки постійного перерізу навантаженої розподіленим навантаженням та схемою «чистого» згину (рис. 3, б). Обидві схеми приведені до еквівалентного максимального згинального моменту та еквівалентних напружень, що діють в критичному перерізі. Такий підхід дає змогу визначити обидві схеми навантаження як еквівалентні. Побудовано епюри сил та моментів для зосередженої сили та еквівалентних моментів (рис. 3).

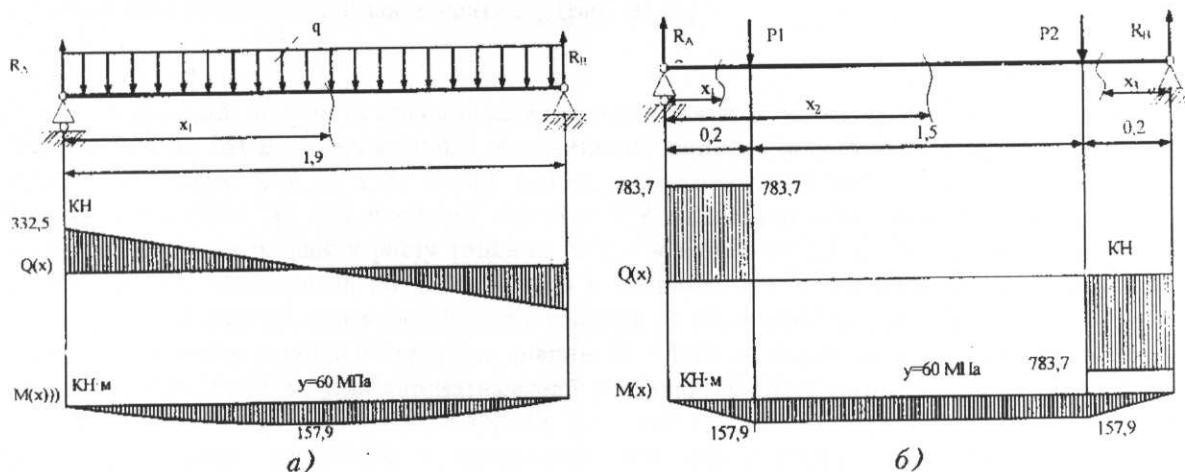


Рис. 3. Схема навантажування та епюри сил і моментів навантаженого циліндра:
а) – рівномірно розподіленим зусиллям; б) – чистим згином

Попри те, що схеми приведені до одинакових напружень у критичному перерізі, схеми дії сил відрізняються, що свідчить про наближеність використаних підходів та можливість їх застосування лише для початкового етапу аналізу НДС конструкції. З метою порівняння значень діючих напружень в циліндрі розраховані методами опору матеріалів та МСЕ було побудовано епюри розподілу стискальних та розтягуючих напружень на його поверхнях (рис. 4).

Очевидно, що значення напружень задовільно узгоджуються з даними обчислення методом плоских перерізів за схемою, поданою на рис. 3, а.

Зовнішні тріщини в циліндричних конструкційних елементах, як правило, є тризимірними. Коефіцієнт стиснення форми дефекту a/b (рис. 2) приймали рівним 0,25. Відносну глибину дефекту приймали як відношення глибини дефекту A до діаметра циліндра D (рис. 2).

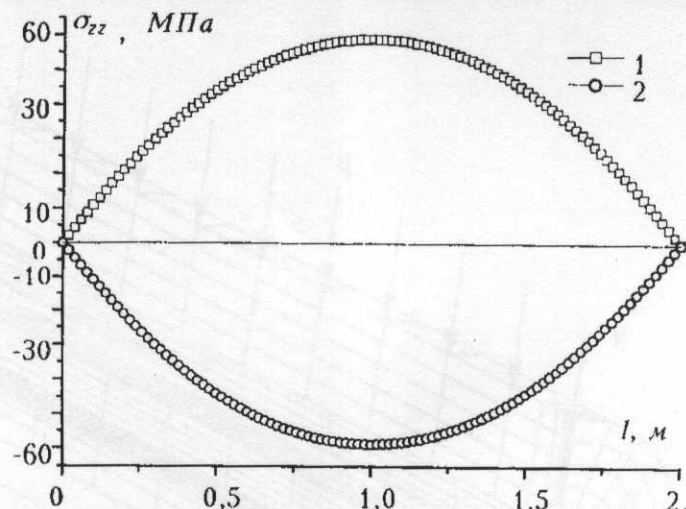


Рис. 4. Розподіл напружень σ_{zz} на верхній (2) та нижній (1) поверхнях циліндра при навантаженні за схемою (рис. 3, а)

Тріщину у всіх точках фронту вважали безперервною із ідеалізованою націвелінгтичною формою, хоча це припущення не виконується в кутових точках тріщини, де фронт перетинається вільною поверхнею тіла, що приводить до перерозподілу напружень [5, 6]. Для кутових точок характерна сингулярність напружень, що не дозволяє точно оцінити напруженено-деформований стан. Проте цей ефект обмежується лінією незначним оком коло кутових точок фронту тріщини, в яких ПДС може бути обчислено наближено. При визначенні розподілу КІН вздовж фронту тріщини використовували нормалізовані координати X_b (рис. 2) [5].

$$X_b = \zeta/h, \quad (1)$$

де ζ і h – відповідно біжуче та максимальне значення точки B по осі абсцис.

Моделювання МСЕ. Товстостінний порожнинний циліндр моделювали з урахуванням умов симетрії у площині $X-Y$ та $Y-Z$. Таким чином, для розрахунків МСЕ використовували лише чверть циліндра (рис. 5). На площину перерізу $Y-Z$ накладали обмеження по переміщенню у напрямку осі X , а на площину росту тріщини $X-Y$ – у напрямку осі Z . Зовнішню площину $X-Y$ (торець циліндра) обмежували по переміщенню у напрямку осі Y , що моделює шарнірну опору торця циліндра. Площину, яка моделює берег тріщини по переміщеннях, не обмежували.

Зовнішній діаметр циліндра приймали рівним $D = 0,32$ м, внутрішній $d = 0,08$ м, половину довжини циліндра $l = 1$ м. Для автоматизованої розбивки об'ємної моделі на скінчені елементи використовували елемент SOLID186 (ANSYS inc., v.11), який налічує 20 вузлів, може мати будь-яку просторову орієнтацію і придатний для моделювання нерегулярних геометрій. Матеріал циліндра вважали ізотропним та пружним ($E = 2,05 \times 10^5$ МПа), коефіцієнт Пуассона $\nu = 0,3$.

МСЕ обчислювали значення КІН для 5 точок вздовж фронту тріщин $\zeta = 0,05 \dots 0,20$ як функцію переміщень берегів тріщини [6]:

$$K_{I,II,III} = \frac{2G}{(1+k)} \left(\frac{2\pi}{a} \right)^{\frac{l}{2}} U_{(y,x,z)}, \quad (2)$$

при $k = \begin{cases} 3-\nu/(1-\nu) & \text{для плоского напруженого стану та плоскої деформації відповідно;} \\ 3-4\nu & \end{cases}$ G –

модуль пружності другого роду; U_x , U_y , U_z – переміщення берегів тріщини в напрямку осі X , Y і Z відповідно (рис. 5).

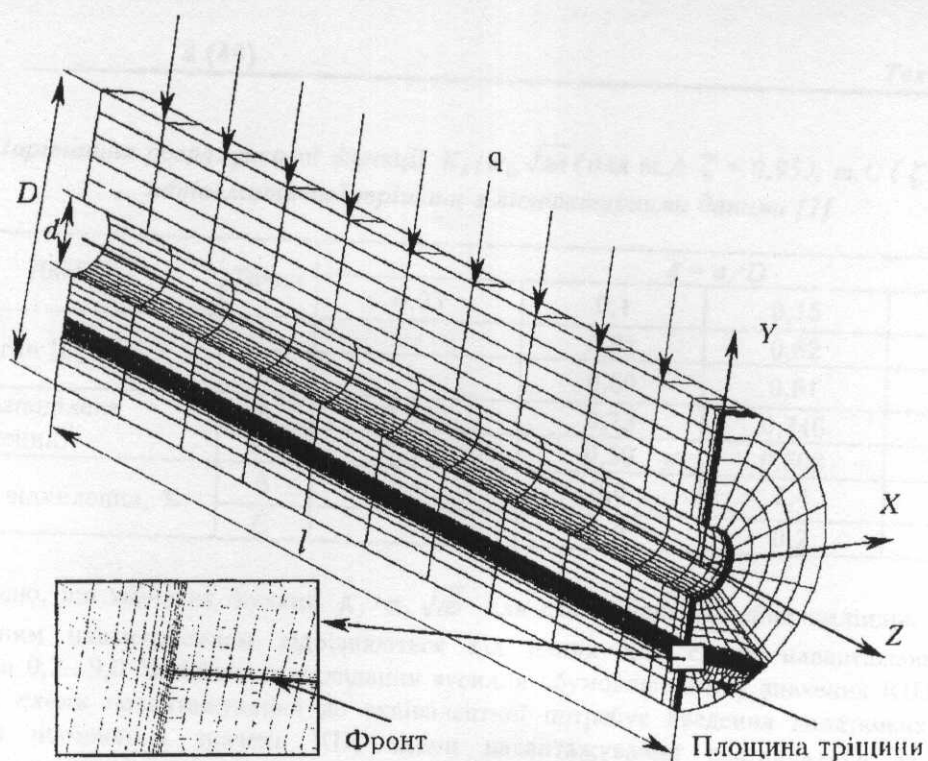


Рис. 5. Скінченно-елементна 3D модель товстостінного циліндра з напівеліптичною тріщиною

Скінченно-елементну сітку у вістрі тріщини згущували. Віддалі між найближчими вузлами сітки у вістрі тріщини в напрямку її поширення рівна 125 мкм, що становить приблизно половину усередненого розміру зерна сталі 25Х1М1Ф, яка традиційно використовується для виготовлення роликів.

Наведено дані оцінки КІН у безрозмірних координатах ($K/\sigma_{zz}\sqrt{\pi}a$ - a/D) для тріщини різної глибини (рис. 6).

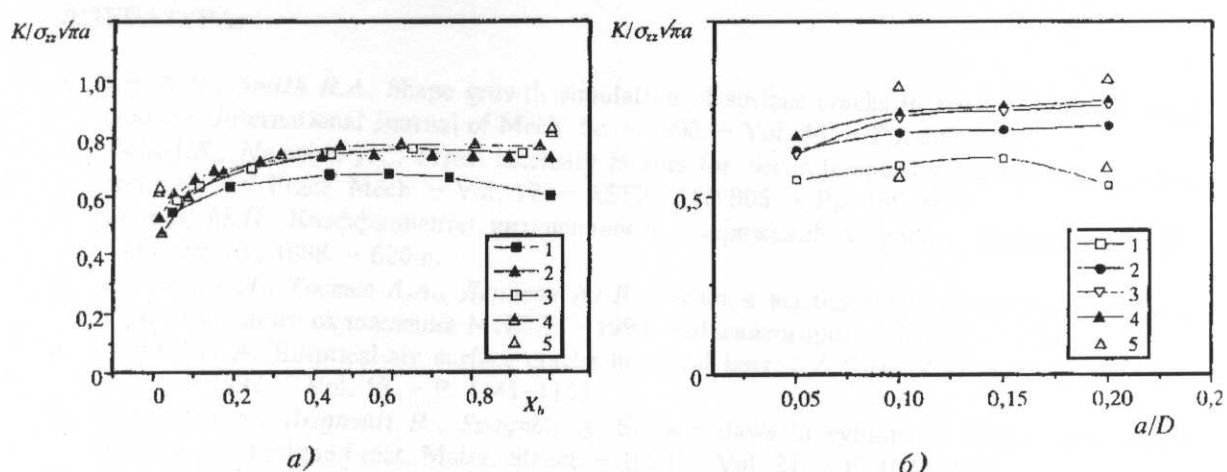


Рис. 6. Залежність нормалізованих КІН товстостінного циліндра з поверхневою напівеліптичною тріщиною від параметра $X_b = a$,

де $1-a/D = 0,05$; $2-a/D = 0,1$; $3-a/D = 0,15$; $4-2-a/D = 0,20$) та від відносної глибини тріщини - 6, $1-X_b = 0,05$; $2-X_b = 0,20$; $3-X_b = 0,60$; $4-X_b = 0,93$

Результати проведених розрахунків порівнювалися з відомими розв'язками для суцільних (без порожнини) циліндрів, навантажених чистим згином з напівеліптичними дефектами. Співставлено результати обчислення функції $K_I/\sigma_{zz}\sqrt{\pi}a$ у вершині тріщини з даними А. Carpinteri для схеми навантаження чистим згином (табл.).

Таблиця

Порівняння розрахункової функції $K_I / \sigma_{zz} \sqrt{\pi a}$ (для т.А $\zeta = 0,95$), т.С ($\zeta = 0,05$), напівеліптичної тріщини з літературними даними [7]

| Дані | Точки | $\xi = a/D$ | | | |
|------------------------------|-------|-------------|------|-------|------|
| | | 0,05 | 0,1 | 0,15 | 0,2 |
| Чистий згин [8] | A | - | 0,81 | 0,82 | 0,83 |
| | C | - | 0,60 | 0,61 | 0,62 |
| МСЕ (розділене навантаження) | A | 0,622 | 0,73 | 0,746 | 0,76 |
| | C | 0,549 | 0,59 | 0,608 | 0,53 |
| Відносне відхилення, % | A | - | 8,0 | 7,4 | 7,0 |
| | C | - | 1,0 | 0,2 | 9,0 |

Виявлено, що значення функції $K_I / \sigma_{zz} \sqrt{\pi a}$ для схеми навантаження циліндра рівномірно-розділеним навантаженням відрізняються від даних для схеми навантаження "чистим згином" на 0,2...9,0 %. Схема прикладання зусилля обумовлює зміну значення КІН, й перехід від однієї схеми навантажування до еквівалентної потребує введення додаткових обмежень.Хоча для порівняння значень КІН схеми навантажування розглядались за однакових напружень, проте схеми навантажування відрізняються (рис. 2). Це очевидно привело до відмінностей в значенні переміщень $U_{(y,x,z)}$ у вершині тріщини розглянутих циліндрів.

Висновки. МСЕ оцінено розподіл КІН вздовж фронту напівеліптичної тріщини та згину товстостінного циліндра (ролика МБЛЗ) рівномірним розподіленим поверхневим навантаженням. Проведені порівняння отриманих результатів з даними інших дослідників за подібними схемами показали, що неврахування характеру прикладеного навантаження впливає на величину поправочної функції для КІН.

Виявлено, що схема навантаження розподіленим зусиллям приводить до зменшення значення переміщень $U_{(y,x,z)}$ у вершині тріщини, а відповідно й до зниження значення КІН за однакових значень згинальних моментів, діючих у аналізованому перерізі.

ЛІТЕРАТУРА:

1. Lin X.B., Smith R.A. Shape growth simulation of surface cracks in tension fatigued round bars // International Journal of Mech. Sc. – 1998. – Vol. 40. – Pp. 405–419.
2. Raju I.S., Newman J.C. Stress intensity factors for circumferential surface cracks in pipes and rods // Fract. Mech. – Vol. 17. – ASTM STP 905. – Pp. 789–805.
3. Саарук М.П. Коэффициенты интенсивности напряжений в телях с трещинами. – К.: Наук. думка, 1988. – 620 с.
4. Баранов Г.Л., Гостев А.Л., Денисов Ю.В. Расчет и исследование роликового аппарата зоны вторичного охлаждения МНЛЗ. – 1993. – Магнитогорск. – МПП. – 110 с.
5. Carpinteri A. Elliptical-arc surface cracks in round bars // Fatigue Fract. Engng. Mater. Struct. – 1992. – Vol. 15. – P. 1141–1153.
6. Carpinteri A., Brighenti R., Spagnoli A. Surface flaws in cylindrical shafts under rotary bending // Fatigue Fract. Mater. Struct. – 1998. – Vol. 21. – P. 1027–1035.
7. Shahani A.R., Habibi S.E. Stress intensity factors in hollow cylinder containing a circumferential semi-elliptical crack subjected to combined loading // International Journal of Fatigue. – 2007. – Vol. 29. – P. 128–140.
8. Carpinteri A. Handbook of fatigue crack propagation in metallic structures. – 1994. – Elsevier Science B.V. – Amsterdam. – The Netherlands. – P. 653–705.

ПИНДУС Юрій Іванович – кандидат технічних наук, доцент кафедри автоматизації технологічних процесів та виробництв Тернопільського державного технічного університету імені Івана Пулюя.

Наукові інтереси:

– механіка руйнування;

– моделювання методом скінчених елементів.
Тел.: 8(0352) 25-24-77.

МАРУЩАК Павло Орестович – кандидат технічних наук, доцент кафедри автоматизації технологічних процесів та виробництв Тернопільського державного технічного університету імені Івана Пулюя.

Наукові інтереси:
– механіка руйнування;
– довговічність металургійного обладнання.
Тел.: 8(0352) 25-35-09.
E-mail: Maruschak@tu.edu.te.ua

БІЩАК Роман Теодорович – молодший науковий співробітник кафедри матеріалознавства Тернопільського державного технічного університету імені Івана Пулюя.

Наукові інтереси:
– механіка руйнування.
Тел.: 8(0352) 25-35-09.

ЯСНІЙ Олег Петрович – асистент кафедри математичних методів в інженерії Тернопільського державного технічного університету імені Івана Пулюя.

Наукові інтереси:
– механіка руйнування;
– прогнозування залишкового ресурсу конструкцій.
Тел.: 8(0352) 52-66-13.

Подано 06.05.2008

ВІСНИК
Житомирського
державного технологічного
університету

№ 2 (45) – 2008

ЗМІСТ

МАШИНОЗНАВСТВО. ОБРОБКА МАТЕРІАЛІВ У МАШИНОБУДУВАННІ

| | |
|---|----|
| Бойко Л.Н., Грабар І.Г., Кульман С.М. Експериментальні дослідження тривалої міцності кутових з'єдань корпусних меблів | 3 |
| Валявський І.А., Кириченко А.М. Дослідження робочого простору верстатів-гексаподів .. | 10 |
| Мельничук П.П., Лоев В.Ю., Головатенко О.В. Техніко-технологічні підходи до удосконалення процесу торцевого фрезерування плоских поверхонь нежорстких деталей .. | 16 |
| Панчук В.Г., Рублюк О.В. Вплив режимів різання та інструментальних геометрических параметрів на кінематичні кути відрізних фрез з різнонаправленими зубцями | 26 |
| Пиндус Ю.І., Марущак П.О., Біщак Р.Т., Яскій О.П. Оцінка розподілу КІН по фронту поверхневої напівеліптичної тріщини у товстоствінному циліндрі | 33 |
| Соколовський О.Ф. Шляхи снергозбереження в насосних установках | 39 |
| Струтинський В.Б., Юмашев В.Є. Визначення геометрических та кінематических параметрів верстата-гексапода | 48 |

ПРИЛАДИ. РАДІОТЕХНІКА ТА ТЕЛЕКОМУНІКАЦІЙ

| | |
|---|----|
| Безвесільна О.М., Ткаченко С.С. Проектування і принцип дії оптичного реєструючого пристрою..... | |
| Грабар І.Г., Безвесільна О.М., Кубрак Ю.О. Переколяційний тензоперетворювач лінійних деформацій та теоретичні основи його роботи | 58 |
| Герасимов Б.М., Пашковський В.В. Розробка структури програмного забезпечення довідково-інформаційної системи, в якій реалізовано алгоритм розпізнавання джерел радіомоніторингу | 61 |
| Коваленко М.В., Хоменко М.Ф., Ципоренко В.В., Бура В.В. Моделювання інваріантних антених решіток для умов змішаного синтезу | 68 |
| Коломієць Р.О. Критерій ефективності апаратури для газорозрядної візуалізації | 74 |
| Кореновська О.Л. Розрахунок вимірювального конденсатора лічильника кількості аероіонів..... | 82 |
| Коробійчук І.В., Пісківець Я.О. Динамічний моделюючий комплекс для випробувань двокільцевого динамічно настроюваного гравіметра | 85 |
| Лега Ю.Г., Фауре Е.В. Сумісне використання шумоіодібних сигналів і коректувальних кодів Хеммінга | 91 |
| Рудніцький В.А. Обладнання плазмохімічного синтезу на основі вакуумного випаровування анода | 97 |

ІНФОРМАТИКА, ОБЧИСЛЮВАЛЬНА ТЕХНІКА ТА АВТОМАТИЗАЦІЯ

107

| | |
|--|-----|
| Грищук Р.В. Кількісна оцінка рівня захищеності об'єктів електронно-обчислювальної техніки з урахуванням їх функціонування в умовах інформаційного конфлікту..... | |
| Єфремов В.М. Предметна область та основні завдання автоматизації автогосподарства | 113 |
| Єфремов М.Ф., Єфремов Ю.М. Розумний інтелект, «засоби» | 121 |
| Кирилович В.А., Черепанська І.Ю. Система підтримки прийняття рішень як основа автоматизованого вибору пристрій орієнтування ГІС | 132 |